

Artículo de Investigación / Research Article

Tarántulas chilenas de la subfamilia Theraphosinae (Mygalomorphae: Theraphosidae): una revisión a nivel de género

Chilean tarantulas of the subfamily Theraphosinae (Mygalomorphae: Theraphosidae): a review at the genus level

Rubén Montenegro V.^{1,2,3*}  y Milenko A. Aguilera^{1,2,4} 

¹Fundación Núcleo Aracnológico Grado 36, Concepción, Chile. ²Programa de Ciencia Ciudadana: "Tarántulas de Chile". ³Colaborador externo área Entomología, Museo Nacional de Historia Natural, Santiago, Chile. ⁴Aracno Inc S.p.A, Concepción, Chile. ✉ ramv25@hotmail.com*

ZooBank: [urn:lsid:zoobank.org:pub:8430491E-01F2-453C-8EFA-3BFF5C361A99](https://doi.org/10.35249/rche.50.2.24.16)
<https://doi.org/10.35249/rche.50.2.24.16>

Resumen. En el presente trabajo se realiza una revisión taxonómica de los géneros de Theraphosinae presentes en Chile, además de una clave que facilite su reconocimiento. Adicionalmente, se ofrece para cada uno de ellos una descripción general y una diagnosis actualizada, además de tratar algunos aspectos sobre el estado de conservación, historia natural y distribución geográfica de algunas de sus especies.

Palabras clave: Arañas; Grammostolini; Neotrópico; taxonomía.

Abstract. In the present work, a taxonomic review of the Theraphosinae genera present in Chile is realized, as well as a key that facilitates their recognition. Additionally, a general description and an updated diagnosis are offered for each of them, in addition to discussing some aspects of the conservation status, natural history and geographical distribution of some of its species.

Key words: Grammostolini; Neotropic; spiders; taxonomy.

Introducción

Mygalomorphae agrupa un conjunto carismático de taxones que incluyen a las tarántulas, arañas trampa y también algunas de las especies más venenosas, como la araña de tela en embudo de Sídney y sus parientes cercanos (Hedin *et al.* 2018; Opatova *et al.* 2020). Debido a sus orígenes ancestrales, con un registro fósil que data del Carbonífero hace más de 107 Ma (Opatova *et al.* 2020), conservan una serie de características consideradas primitivas para las arañas, como lo son un sencillo sistema de hilado de seda, dos pares de pulmones en libro y una disposición paraxial de los quelíceros (Opatova *et al.* 2020). Actualmente, el infraorden está conformado por 30 familias, 366 géneros y más de 3.000 especies (Opatova *et al.* 2020; World Spider Catalog 2024). La familia Theraphosidae, cuyos miembros son conocidos comúnmente como "tarántulas", alberga algunos de los más grandes arácnidos sobre la tierra (Lüddecke *et al.* 2018), contiene más de 1.000 especies distribuidas en 12 o 13 subfamilias y se encuentra presente en todos los continentes excepto en la Antártida (West

Recibido 14 abril 2024 / Aceptado 27 mayo 2024 / Publicado online 30 junio 2024
Editor Responsable: José Mondaca E.

et al. 2008; Lüddecke *et al.* 2018; Pérez-Miles 2020). Theraphosinae es la subfamilia más diversa dentro de la familia, con 69 géneros y más de 500 especies válidamente descritas (Galleti-Lima *et al.* 2023), siendo especialmente numerosa en el Neotrópico. Turner *et al.* (2018), basándose en análisis moleculares y apoyados en algunos caracteres morfológicos, proponen dividir la subfamilia en tres tribus: Theraphosini, Hapalopini y Grammostolini.

En Chile, Theraphosinae está representada por cuatro géneros, *Euathlus* Ausserer, 1875, *Grammostola* Simon, 1892, *Homoeomma* Ausserer, 1871 y *Phrixotrichus* Simon, 1889 (World Spider Catalog 2024), todos pertenecientes a la tribu Grammostolini, cuya característica principal es la presencia de setas urticantes abdominales tipo IV (Turner *et al.* 2018; Miglio *et al.* 2024).

En esta contribución se presenta una revisión taxonómica de los géneros de Theraphosinae presentes en Chile, se elabora una clave de identificación para los géneros y se entrega información referente al hábitat, estado de conservación y distribución geográfica de algunas de sus especies.

Materiales y Métodos

Este trabajo está basado en el estudio de las colecciones aracnológicas del Museo de Zoología de la Universidad de Concepción, Concepción, Chile, de la Fundación Núcleo Aracnológico Grado 36, Concepción, Chile y de las colecciones personales de los autores. Los criterios de determinación y nomenclatura siguen al World Spider Catalog (2024) versión 25.0. La clave está diseñada para ser aplicada en individuos sexualmente maduros debido a que en especímenes inmaduros las estructuras genitales no están desarrolladas o completamente desarrolladas, lo que hace muy difícil una correcta identificación. El mapa de distribución se elaboró ingresando las coordenadas geográficas en el sitio web www.simpleappr.net (Shorthouse 2010).

Morfología. Las imágenes fueron tomadas con una cámara digital OPTO-EDU 18 MP montada en un estereoscopio trinocular AmScope SM-4NTPZZ-144-16M3, con la ayuda del software Helicon Focus 7. Para la identificación de *Euathlus* se sigue a Perafán y Pérez-Miles (2014), Pérez-Miles y Perafán (2020) y Quispe-Colca y Ferretti (2021), para *Grammostola* a Montes de Oca *et al.* (2016), Aguilera *et al.* (2019), Pérez-Miles y Perafán (2020) y Aguilera *et al.* (2022), para *Homoeomma* a Montenegro *et al.* (2018), Sherwood *et al.* (2018) y Pérez-Miles y Perafán (2020) y para *Phrixotrichus* a Perafán y Pérez-Miles (2014) y Pérez-Miles y Perafán (2020). Para la terminología de las setas urticantes se sigue a Cooke *et al.* (1972).

Abreviaturas. Estructuras: PI= quilla prolateral inferior; PS= quilla prolateral superior; A= quilla accesoria; RP= rama prolateral de la apófisis tibial; RR= rama retrolateral de la apófisis tibial. Repositorios: CRMV= Colección Rubén Montenegro Vargas; FNAG36= Fundación Núcleo Aracnológico Grado 36; MZUC-UCCC= Museo de Zoología, Universidad de Concepción, Concepción, Chile.

Figuras. 5a, b, c, d; 6c, d; 8a, c, f; 10c: Andrés Olivera. 5e, d; 6f; 7a, b; 9; 10f; 12e: Rubén Montenegro. 6a, b, e; 7c; 10a, b, e; 11a, c; 12a, b; 13c, d, e, f: Roberto Rojas. 7d; 8e: Nicolas Zañartu. 8b: Asiel Olivares. 8d: César Martínez. 10d: Carlos Cabrera. 11b: Nelson Arriagada. 12c: Javiera Le-Breton. 12d: Felipe Rabanal. 12f; 13a, b: Francisco Mardones.

Material examinado. *Euathlus antai*. Holotipo hembra. CHILE. Región de Antofagasta, Provincia de El Loa, San Pedro de Atacama, Puritama, 3200 msnm, febrero 1997, col. J.C. Ortíz [MZUC-UCCC 35893]. *Euathlus atacama*. Holotipo macho, paratipo hembra, CHILE, Región Antofagasta, Provincia de El Loa, San Pedro de Atacama, 2400 msnm, febrero 1997,

col. J.C. Ortíz [MZUC-UCCC 35892]. *Euathlus condorito*. Holotipo macho, paratipo hembra. CHILE. Región Metropolitana, Provincia de Santiago, Farellones (33°22'S, 70°17'O), 2400 msnm, diciembre 2005, col. Claudio Velosos [MZUC-UCCC 35891]; 1 macho, 1 hembra. CHILE. Región Metropolitana, Provincia de Santiago, Farellones, octubre 2018, col. Andrés Olivera [CRMV/012-THE, CRMV/013-THE]. *Euathlus manicata*. 1 macho. CHILE. Región del Biobío, Provincia de Concepción, Concepción, Barrio Universitario, 150 m, noviembre 2004 [MZUC-UCCC 35890]. *Euathlus parvulus*. 2 machos, 1 hembra. CHILE. Región de Valparaíso, Provincia de Valparaíso, Laguna Verde, febrero 2020, col. Andrés Olivera *Euathlus truculentus*. 1 macho, 1 hembra. CHILE. Región de Coquimbo, Provincia de Choapa, Pichidanguí, abril 2018, col. Andrés Olivera [CRMV/014-THE, CRMV/015-THE]. *Grammostola rosea*. Neotipo macho. CHILE, Región de Valparaíso, Provincia de Marga Marga, Limache (33°02'46,46"S, 71°11'46,54"O), agosto 2017, col. Rubén Montenegro y Andrés Olivera [FNAG36 N°1071]; 1 hembra. Mismos datos del neotipo. *Homoeomma chilense*. holotipo macho y paratipo hembra. CHILE. Región del Maule, Provincia de Linares, Ancoa, octubre 2015, col. J.P. Orellana [MZUC-UCCC 43023, MZUC-UCCC 43024]. *Homoeomma orellanai*. Holotipo macho. CHILE. Región de O'Higgins, Provincia de Colchagua, Termas del Flaco (34°57'28"S, 70°26'12"O), noviembre 2010, col. Juan Pablo Orellana [MZUC-UCCC 45255, MZUC-UCCC 45256]. *Phrixotrichus jara*. Holotipo macho. CHILE. Región del Biobío, Provincia de Concepción, valle Nonguén, (37°00'S, 72°30'O), 150 msnm, noviembre 1995, col. C. Aracena [MZUC-UCCC 174]. *Phrixotrichus scrofa*. 1 macho, 1 hembra. CHILE. Región del Biobío, Provincia de Concepción, valle Nonguén, 150 msnm (37°00'S, 72°30'O), noviembre 1995, col. C. Aracena [MZUC-UCCC 35897]. *Phrixotrichus vulpinus*. 1 macho, 1 hembra. CHILE. Región de Los Ríos, Provincia de Valdivia, Punucapa, diciembre 2017, col. Francisco Mardones [CRMV/016-THE, CRMV/017-THE].

Resultados

Taxonomía

Familia Theraphosidae Thorell, 1869

Subfamilia Theraphosinae Thorell, 1869

Diagnosis. Presencia combinada de quillas sobre el bulbo copulador, *subtegulum* extendido y setas urticantes abdominales (Pérez-Miles y Perafán 2020).

Clave de identificación para los géneros de Theraphosinae presentes en Chile

1. Presencia de setas estridulatorias sobre la coxa de la pata I (Fig. 1a) y la coxa del palpo *Grammostola*
- Ausencia de setas estridulatorias 2
2. Presencia de un doble parche de setas urticantes dorsolaterales sobre el abdomen (Figs. 1b, c) *Phrixotrichus*
- Presencia de un solo parche central de setas urticantes sobre el abdomen 3
3. Machos con apófisis tegular en la base del bulbo copulador (Fig. 1d) y nódulo ventral en la base del metatarso I (Fig. 1e); hembras con espermateca de base cuadrangular o trapezoidal con un lóbulo superior (Fig. 1f) *Homoeomma*
- Machos sin apófisis tegular en la base del bulbo copulador y sin nódulo ventral en la base del metatarso I; hembras con receptáculos espermáticos unidos a cámaras laterales esferoidales por un corto ducto *Euathlus*

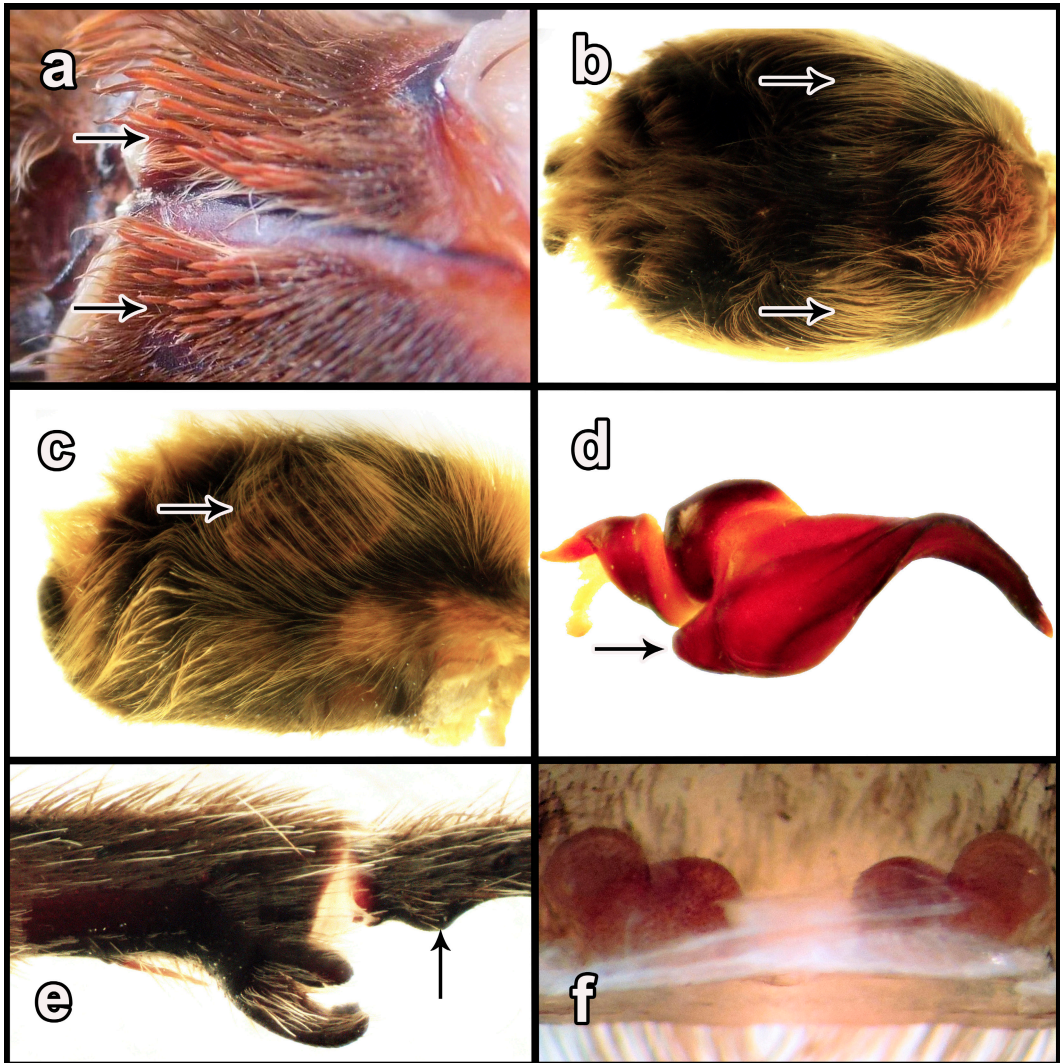


Figura 1. Imágenes para la identificación de los géneros de Theraphosinae de Chile. **a.** Coxa pata I de *Grammostola rosea*, vista prolateral (flechas indican las setas estridulatorias). **b.** Abdomen de *Phrixotrichus scrofa*, vista dorsal (flechas indican los dos parches de setas urticantes). **c.** Abdomen de *P. scrofa*, vista lateral (flecha indica parche de setas urticantes). **d.** Bulbo copulador del macho de *Homoeomma chilense*, vista prolateral (flecha indica la apófisis tegular). **e.** Tibia y base del metatarso I del macho de *Homoeomma orellanai*, vista prolateral (flecha indica el nódulo ventral). **f.** Espermateca de la hembra de *H. orellanai*, vista dorsal. / **Figure 1.** Images for the identification of Theraphosinae genera from Chile. **a.** Coxae leg I of *Grammostola rosea*, prolateral view (arrows indicate stridulatory setae). **b.** Abdomen *Phrixotrichus scrofa*, dorsal view (arrows indicate the two patches of urticating setae). **c.** Abdomen *P. scrofa*, lateral view (arrow indicates patch of urticating setae). **d.** Copulatory bulb of male *Homoeomma chilense*, prolateral view (arrow indicates the tegular process). **e.** Tibiae and base of metatarsus I of male *Homoeomma orellanai*, prolateral view (arrow indicates ventral nodule). **f.** *H. orellanai* female spermathecae, dorsal view.

Género *Euathlus* Ausserer, 1875

Paraphysa Simon 1892: 166 [sinónimo, menos *P. peruviana* Schmidt, 2007, *P. riparia* Schmidt y Bolle, 2008].

Especie tipo. *Euathlus truculentus* L. Koch, 1875.

Especies presentes en Chile. *Euathlus affinis* (Nicolet, 1849), *Euathlus antai* Perafán y Pérez-Miles, 2014, *Euathlus atacama* Perafán y Pérez-Miles, 2014, *Euathlus condorito* Perafán y Pérez-Miles, 2014, *Euathlus manicata* (Simon, 1892), *Euathlus parvulus* (Pocock, 1903) y *Euathlus truculentus* L. Koch, 1875.

Diagnosis. Bulbo copulador de los machos generalmente con dos quillas (PS y PI), excepto *E. manicata* que además presenta una A (ver Perafán y Pérez-Miles 2014, Fig. 6E), y el ápice direccionado retrolateralmente (Figs. 2a-c); apófisis tibial con dos ramas generalmente divergentes fusionadas en la base, siendo la RR más grande que la RP (Figs. 3a-b), ramas convergentes en *E. atacama* (ver Perafán y Pérez-Miles 2014, Fig. 4D) y *E. truculentus* (Fig. 3c), con una espina subapical sobre la RR y una espina basal sobre la RP; metatarso I de los machos generalmente curvo (recto sólo en *E. truculentus*); flexión del metatarso I entre las ramas de la apofisis tibial o tocando el ápice de la RR; receptáculos espermáticos de las hembras con una cámara lateral unida por un ducto (Figs. 4a-b); un solo parche dorsal de setas urticantes abdominales tipo III-IV (Figs. 5a, c, d; 6a) (Perafán y Pérez-Miles 2014; Pérez-Miles y Perafán 2020).

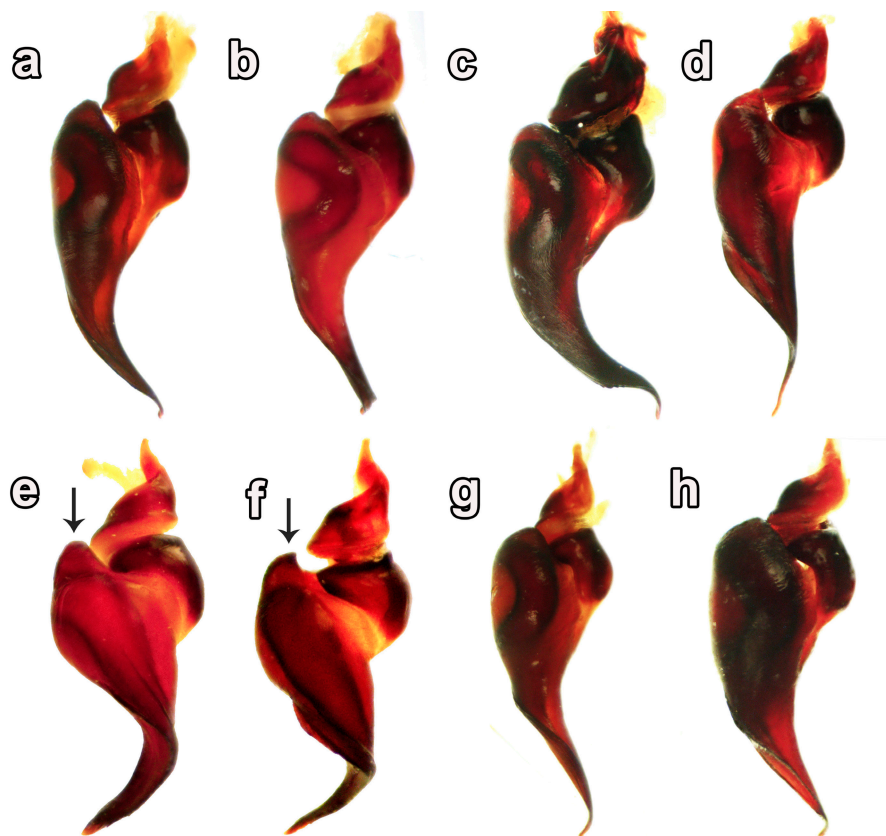


Figura 2. Bulbos copuladores de algunos machos de Theraphosinae presentes en Chile, vista prolateral. **a.** *Euathlus condorito*. **b.** *E. manicata*. **c.** *E. truculentus*. **d.** *Grammostola rosea*. **e.** *Homoeomma chilense* (flecha indica la apófisis tegular). **f.** *H. orellanai* (flecha indica la apófisis tegular). **g.** *Phrixotrichus scrofa*. **h.** *P. vulpinus*. / **Figure 2.** Copulatory bulbs of some Theraphosinae males present in Chile, prolateral view. **a.** *Euathlus condorito*. **b.** *E. manicata*. **c.** *E. truculentus*. **d.** *Grammostola rosea*. **e.** *Homoeomma chilense* (arrow indicates the tegular process). **f.** *H. orellanai* (arrow indicates the tegular process). **g.** *Phrixotrichus scrofa*. **h.** *P. vulpinus*.

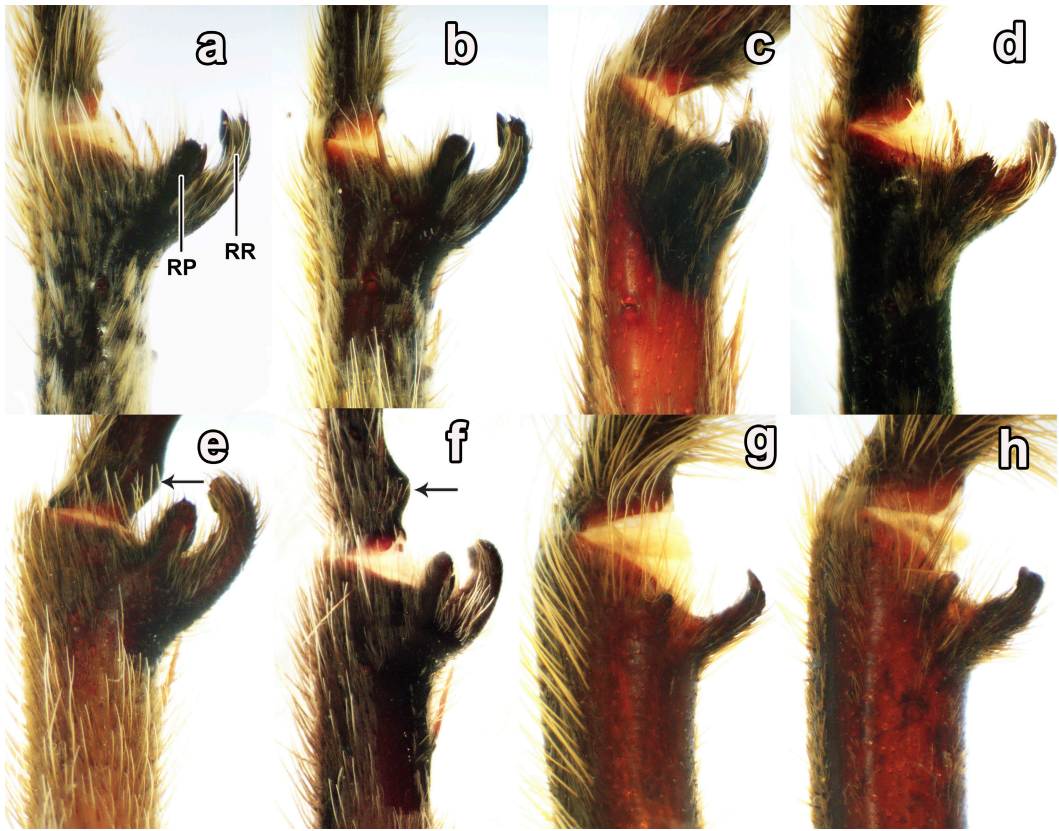


Figura 3. Apófisis tibiales pata I de algunos machos de Theraphosinae presentes en Chile, vista prolateral. **a.** *Euathlus condorito*. **b.** *E. manicata*. **c.** *E. truculentus*. **d.** *Grammostola rosea*. **e.** *Homoeomma chilense* (flecha indica el nódulo ventral en la base del metatarso). **f.** *H. orellanai* (flecha indica el nódulo ventral en la base del metatarso). **g.** *Phrixotrichus scrofa*. **h.** *P. vulpinus*. / **Figure 3.** Tibial apophysis of leg I of some males of Theraphosinae present in Chile, prolateral view. **a.** *Euathlus condorito*. **b.** *E. manicata*. **c.** *E. truculentus*. **d.** *Grammostola rosea*. **e.** *Homoeomma chilense* (arrow indicates the ventral nodule at the base of the metatarsus). **f.** *H. orellanai* (arrow indicates the ventral nodule at the base of the metatarsus). **g.** *Phrixotrichus scrofa*. **h.** *P. vulpinus*.

Descripción corporal. Arañas de tamaño pequeño a mediano (2-5 cm de largo corporal sin incluir queléceros ni hilanderas). Caparazón más largo que ancho de color negro cubierto por setas de distintos colores según la especie (*e.g.*, amarillentas, verdosas, cobrizas, etc.). Palpos y patas de color negro, con abundantes setas de diversos colores (Figs. 5a-d; 6a-d). Abdomen negro cubierto de setas de distintos colores, generalmente sin un patrón abdominal definido (excepto en *E. parvulus* (Fig. 5c) y *E. manicata* (Fig. 6a) que presentan un patrón a rayas sobre los costados), junto con un penacho de setas rojizas en la base del abdomen (Figs. 5a-d; 6a-b) (ausente en *E. truculentus* (Figs. 6c-d)). Setas urticantes abdominales agrupadas en un solo parche dorsal muy demarcado en la mayoría de las especies (Figs. 5a, c, d; 6a) o bastante difuso (en *E. truculentus* (Figs. 6c-d)).

Distribución e historia natural. Es el género con mayor distribución a lo largo del país, encontrándose entre las regiones de Antofagasta y del Biobío (Fig. 14a) (Perafán y Pérez-Miles 2014; Fukushima y Bertani 2017). Debido a su amplia distribución, se encuentra desde la Provincia de Atacama, en la denominada Zona de Transición Sudamericana en el norte de Chile, hasta la Provincia del Maule, perteneciente a la subregión Subantártica en el centro-

sur del país (Morrone 2015). En cuanto a la altitud, se halla desde el nivel del mar (Fig. 5f) hasta sobre los 3.000 msnm en la alta cordillera de los Andes (Fig. 5e) (Legendre y Calderón 1984; Perafán y Pérez-Miles 2014).

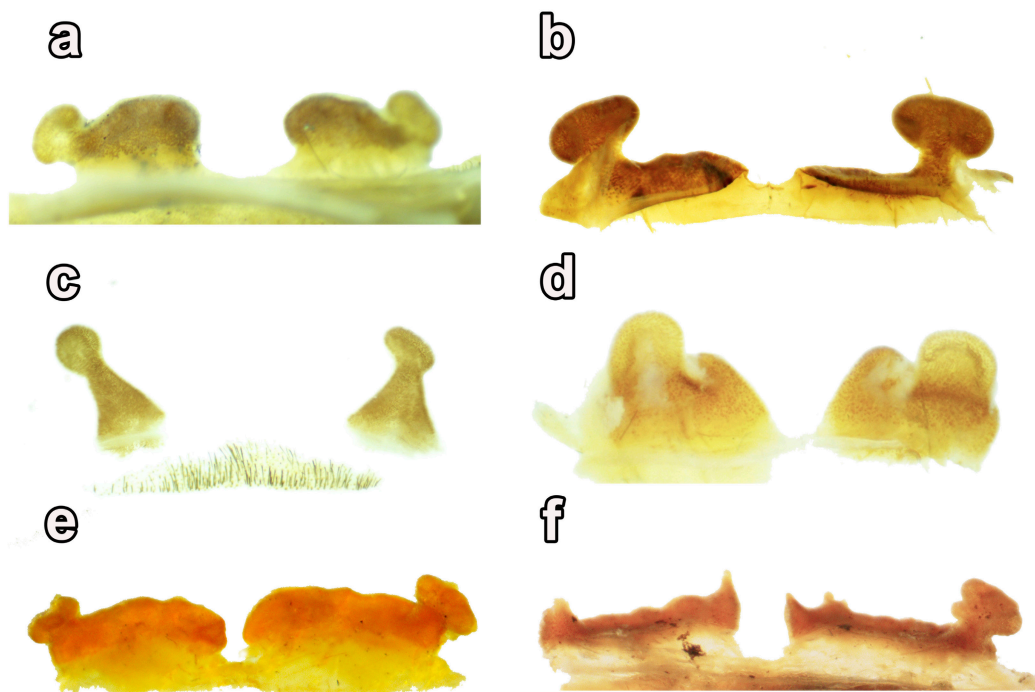


Figura 4. Espermatecas de algunas hembras de Theraphosinae presentes en Chile, vista dorsal. **a.** *Euathlus condorito*. **b.** *E. truculentus*. **c.** *Grammostola rosea*. **d.** *Homoeomma chilense*. **e.** *Phrixotrichus scrofa*. **f.** *P. vulpinus*. / **Figure 4.** Spermathecae of some females of Theraphosinae present in Chile, dorsal view. **a.** *Euathlus condorito*. **b.** *E. truculentus*. **c.** *Grammostola rosea*. **d.** *Homoeomma chilense*. **e.** *Phrixotrichus scrofa*. **f.** *P. vulpinus*.

Euathlus condorito es una especie endémica de Chile que habita a mayores altitudes. Su distribución se restringe únicamente a la localidad tipo de Farellones, sector ubicado a 2.400 msnm en la alta cordillera de los Andes de la zona central de Chile (Fig. 14a) (Perafán y Pérez-Miles 2014). En estos sectores de altura, el clima predominante es el Templado Mediterráneo con estación seca prolongada, donde la característica principal es la presencia de una estación seca prolongada y un invierno bien marcado con temperaturas extremas que llegan a -0°C (Inzunza 2000). Esta especie habita bajo grandes piedras donde excava una pequeña cámara que usa de madriguera (Fig. 7a), preferentemente en pequeñas lomas donde la vegetación es escasa, con predominio del matorral esclerófilo andino y de la estepa altoandina de la cordillera de Santiago, representada principalmente por frangel (*Kageneckia angustifolia* D. Don), guindillo (*Guindilia trinervis* Gillies ex Hook. y Arn), colliguay (*Colliguaja integerrima* Gillies et Hook) y algunas especies de crecimiento en cojín y herbáceas graminoides asociadas a vegas (Fig. 5e).

Euathlus parvulus es una especie endémica de Chile, cuyos individuos solo han sido encontrados en la localidad de Laguna Verde en la Región de Valparaíso (Legendre y Calderón 1984) (Fig. 14a). El clima es de tipo Mediterráneo Templado Cálido Costero, que debido a la fuerte influencia del mar las temperaturas se mantienen prácticamente uniformes durante todo el año, con un promedio anual de 14°C . La humedad relativa es alta cercana a un 75% y las precipitaciones son más abundantes que en otras partes de la

región, alcanzando unos 450 mm anuales (Inzunza 2020). Su presencia suele estar asociada al bosque esclerófilo, con predominio de boldo (*Peumus boldus* Molina), peumo (*Cryptocarya alba* (Molina) Looser), molle (*Schinus latifolius* (Gillies Ex Lindl.) Engl.), litre (*Lithraea caustica* (Molina) Hook. et Arn), quillay (*Quillaja saponaria* Molina) y maitén (*Maytenus boaria* Molina) (Fig. 5f). *Euathlus parvulus* habita en pequeñas cámaras construidas bajo piedras enterradas superficialmente (Fig. 7b).

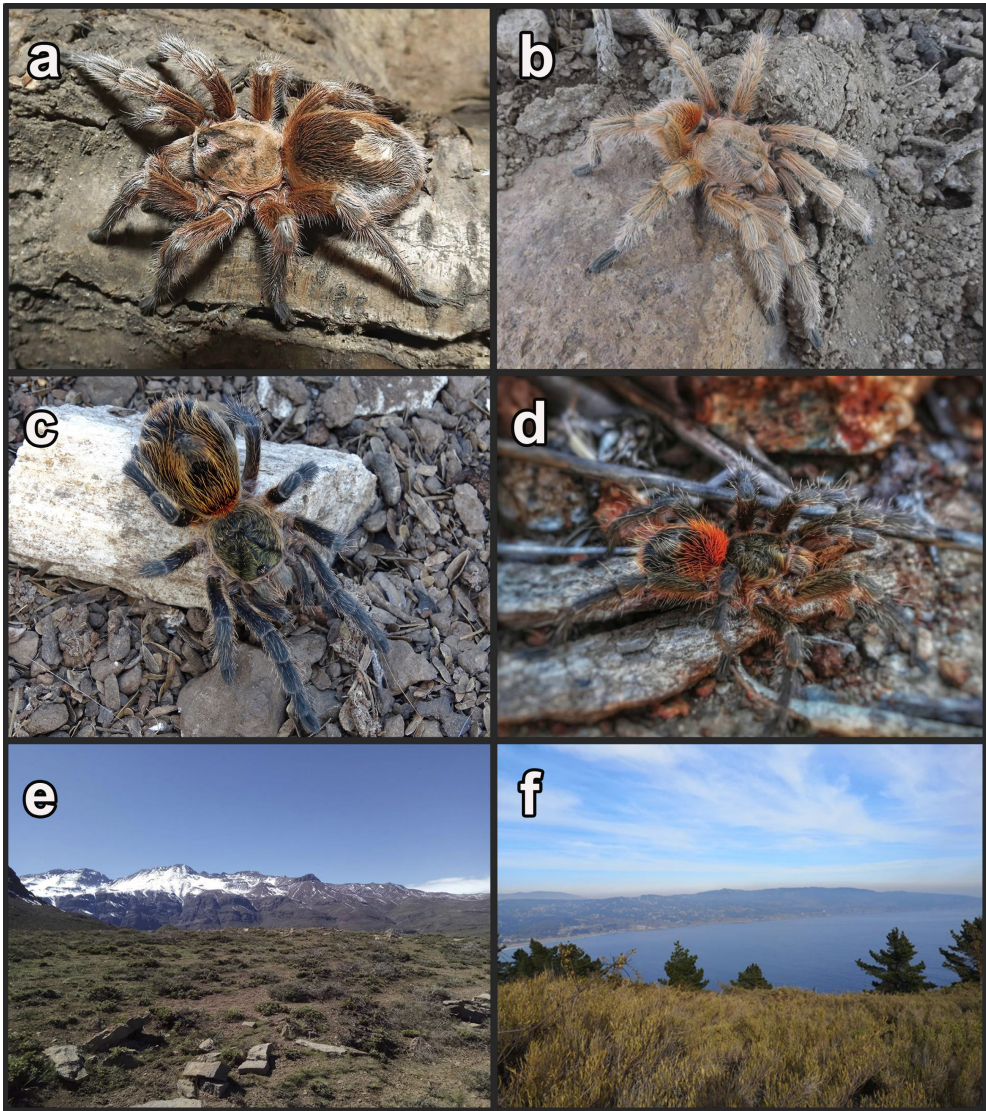


Figura 5. a-b, e. *Euathlus condorito*. a. Hembra. b. Macho. e. Hábitat general, Farellones, Región Metropolitana. c-d, f. *E. parvulus*. c. Hembra. d. Macho. f. Hábitat general, Laguna Verde, Región de Valparaíso. / Figure 5. a-b, e. *Euathlus condorito*. a. Female. b. Male. e. General habitat, Farellones, Metropolitan Region. c-d, f. *E. parvulus*. c. Female. d. Male. f. General habitat, Laguna Verde, Valparaíso Region.

Euathlus manicata es una especie endémica de Chile, con una aparente amplia distribución a lo largo del país, con registros en Rengo, Región de O'Higgins y en Concepción, en la Región del Biobío (Fig. 14a) (Legendre y Calderón 1984; Perafán y Pérez-Miles 2014). Las

condiciones climáticas corresponden a las de clima Templado Mediterráneo, con diferencias en sentido norte-sur, con una estación seca de 6 meses en el norte a 4 meses en el sur. Las máximas temperaturas medias anuales son de 19 °C con extremas superiores a los 30 °C, en cambio en invierno las temperaturas mínimas medias son de 7 °C, con extremas de 0 °C o menor (Inzunza 2000). Al estar presente en varias regiones del centro sur del país, su hábitat es variado, estando asociada a diversas especies vegetales como litre, corcolón (*Azara integrifolia* Ruiz y Pav.), radial (*Lomatia hirsuta* Diels ex J. F. Macbr), ciprés (*Austrocedrus chilensis* (D. Don) Pic-Serm. y Bizzarri) (Fig. 6e), ruil (*Nothofagus alessandrii* Espinosa) y hualo (*Nothofagus glauca* (Phil.) Krasser). Es una especie oportunista que puede hacer sus madrigueras cavando una pequeña cámara bajo grandes piedras, troncos caídos o habitar en cualquier espacio generado naturalmente (Fig. 7c).

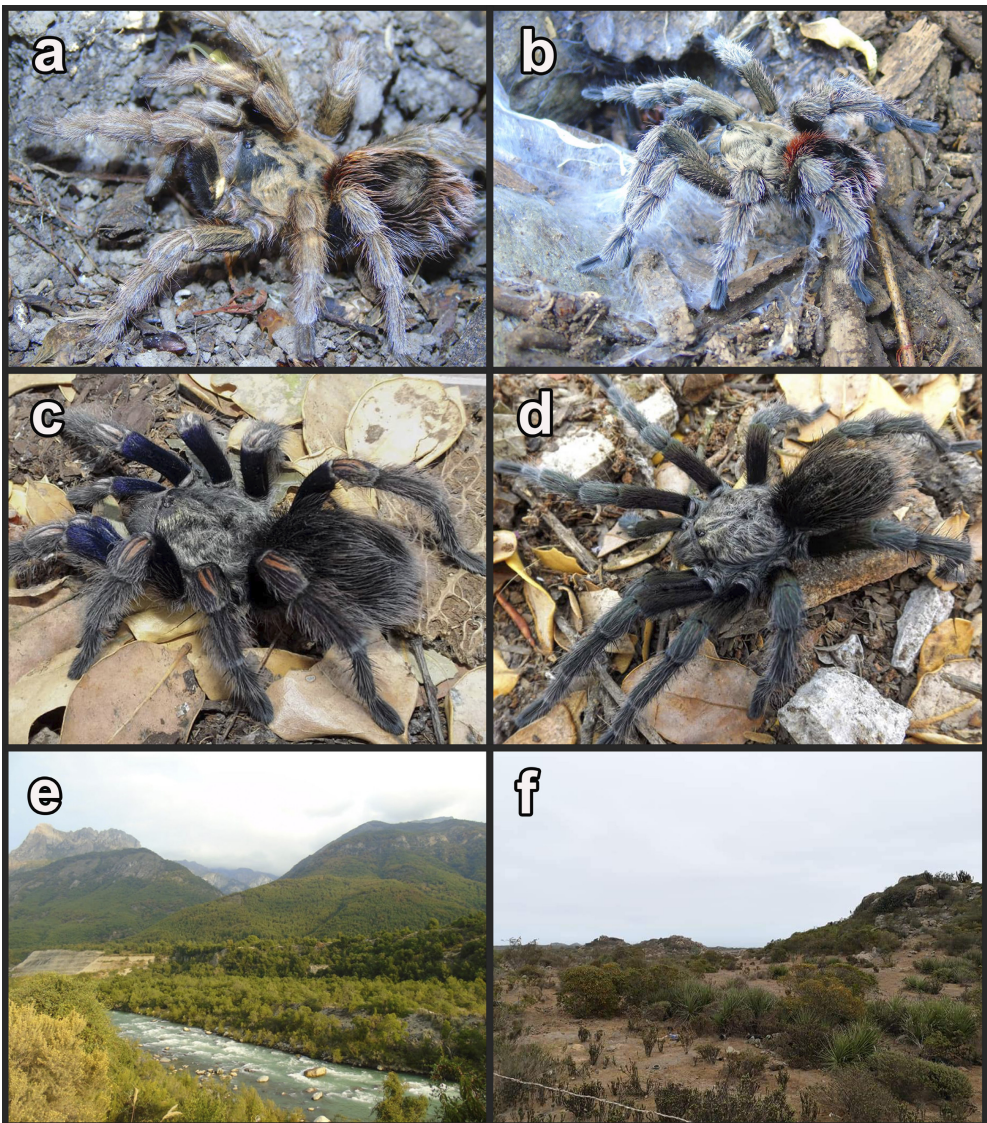


Figura 6. a-b, e. *Euathlus manicata*. a. Hembra. b. Macho. e. Hábitat general, Ancoa, Región del Maule. c-d, f. *E. truculentus*. c. Hembra. d. Macho. f. Hábitat general, Pichidangui, Región de Coquimbo. / **Figure 6. a-b, e. *Euathlus manicata*. a. Female. b. Male. e. General habitat, Ancoa, Maule Region. c-d, f. *E. truculentus*. c. Female. d. Male. f. General habitat, Pichidangui, Coquimbo Region.**

Euathlus truculentus es una especie nativa de Chile y Argentina, aunque no ha sido posible encontrar el material que la cita para Argentina (Ríos-Tamayo 2020). Habita principalmente en la zona costera del sur de la Región de Coquimbo, con un registro en la localidad de Pichidangui (Fig. 14a) y otro muy dudoso, que por lo mismo no es considerado en este artículo, en la localidad de Horcón, Región de Valparaíso (Legendre y Calderón 1984). El clima preferente es el de Estepa Costera o Nubosa que se desarrolla a lo largo de toda la costa. Su mayor característica es la abundante nubosidad, con temperaturas moderadas (20 °C anuales promedio) y un promedio de precipitaciones de 130 mm anuales, con un período seco de 8 a 9 meses (Inzunza 2000). Entre las especies vegetales dominantes se encuentran espino (*Vachellia caven* (Molina) Seigler y Ebinger), colliguay, pingo pingo (*Ephedra chilensis* C. Presl.) y romerillo (*Baccharis linearis* (Ruiz y Pav.) Pers.), además de cactáceas como quisco (*Echinopsis chiloensis* (Colla) H. Friedrich y G. D. Rowley), copao (*Eulychnia acida* Phil.) y sandillón de los ratones (*Eriosyse rodentiophila* F. Ritter) (Fig. 6f). Es frecuente encontrar individuos de *E. truculentus* en sectores pedregosos, donde las grandes rocas le otorgan una guarida perfecta para vivir bajo ellas (Fig. 7d).

Euathlus affinis, *E. antai* y *E. atacama* son especies endémicas de Chile y solo conocidas de su localidad típica (ver Perafán y Pérez-Miles 2014; Fukushima y Bertani 2017). Se desconocen aspectos referentes a su hábitat e historia natural.

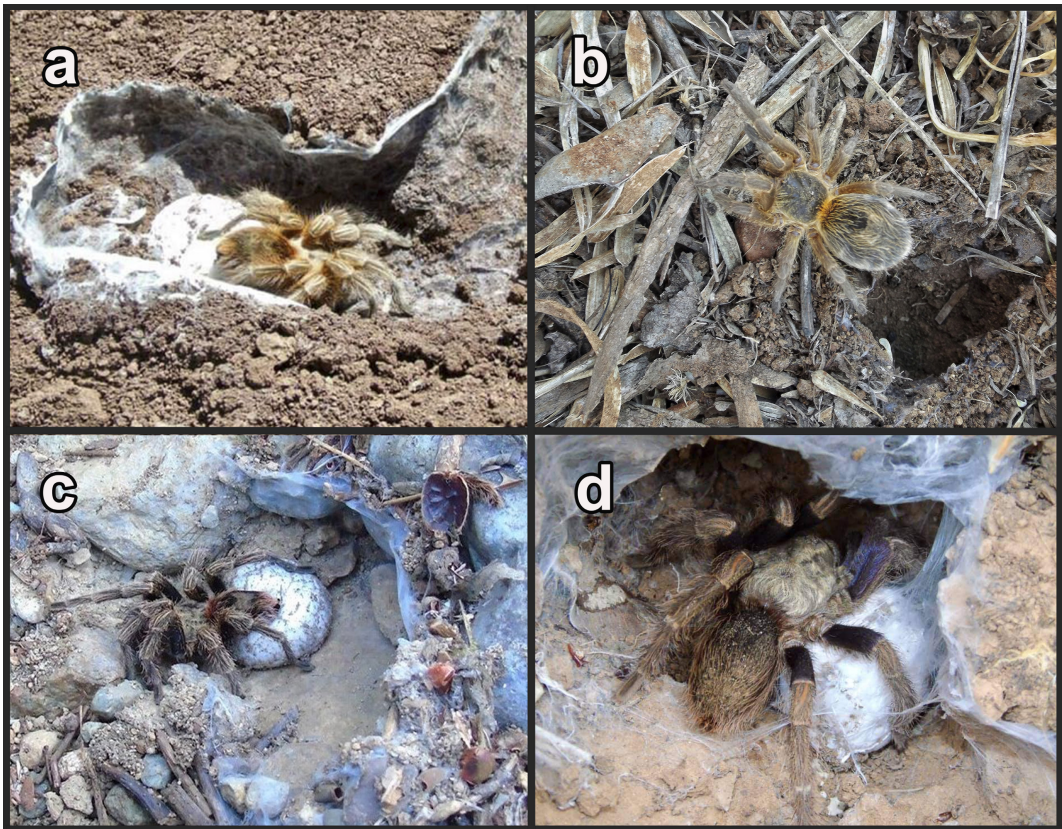


Figura 7. *Euathlus* spp., madrigueras bajo piedras. **a.** *E. condorito*, hembra adulta. **b.** *E. parvulus*, hembra adulta. **c.** *E. manicata*, hembra adulta. **d.** *E. truculentus*, hembra adulta. / **Figure 7.** *Euathlus* spp., burrows under stones. **a.** *E. condorito*, adult female. **b.** *E. parvulus*, adult female. **c.** *E. manicata*, adult female. **d.** *E. truculentus*, adult female.

Estado de conservación. Cuatro especies del *Euathlus* están incluidas en la Ley de Caza N° 19.473 del año 2015 (*E. affinis*, *E. manicata*, *E. parvulus* y *E. truculentus*). Además, siete especies fueron incorporadas al Reglamento para la Clasificación de Especies Silvestres del Ministerio del Medio Ambiente. *Euathlus antai*, *E. atacama*, *E. condorito* y *E. parvulus* se encuentran bajo la categoría de “Peligro Crítico” (CR), *E. affinis* y *E. truculentu* bajo la categoría de “En Peligro” (EN) y *E. manicata* bajo la categoría de “Casi Amenazada” (NT) (MMA 2024).

Género *Grammostola* Simon, 1892

Lasiopelma Simon, 1892 = *Grammostola* Simon, 1892 (Schmidt 1994: 5, contra Raven 1985: 119, quien la propuso como un sinónimo de *Tapinauchenius* Ausserer, 1871).

Polyspinosa Schmidt, 1999 = *Grammostola* Simon, 1892 (Bertani y Fukushima 2004: 330).

Sorata Strand, 1907 = *Grammostola* Simon, 1892 (Raven 1985: 159).

Especie tipo. *Grammostola pulchripes* (Simon, 1881).

Especie presente en Chile. *Grammostola rosea* (Walckenaer, 1837).

Diagnosis. Setas estridulatorias sobre la cara prolateral de la coxa de la pata I (Fig. 1a) y la cara retrolateral de la coxa del palpo; bulbo copulador de los machos piriforme con solamente dos quillas (PS y PI), el émbolo largo y delgado similar a un estilete y direccionado hacia ventral y retrolateral (Fig. 2d); apófisis tibial con dos ramas divergentes no fusionadas en la base, siendo la RR más grande que la RP (Fig. 3d), con una espina subapical sobre la RR y una espina basal sobre la RP; metatarso I de los machos curvado; flexión del metatarso I sobre el ápice de la RR; receptáculos espermáticos de las hembras subcónicos con un lóbulo esferoidal apical (Fig. 4c); un solo parche dorsal de setas urticantes abdominales tipo III-IV. (Aguilera *et al.* 2019; Pérez-Miles y Perafán 2020; Aguilera *et al.* 2022).

Descripción corporal. Arañas de tamaño mediano (5-6 cm de largo corporal sin incluir quelíceros ni hilanderas). Caparazón más largo que ancho de color marrón oscuro o casi negro, cubierto de setas color rosa o rojiza. Palpos y patas de color negro, con abundantes setas que pueden ser grises, marrones o rojizas. Abdomen negro cubierto de setas que pueden ser grises, marrones o rojizas y sin un patrón abdominal definido. Setas urticantes abdominales agrupadas en un parche dorsal generalmente difuso (Figs. 8a-d).

Distribución e historia natural. Este género está representado en el país por la especie *Grammostola rosea*, cuya distribución se extiende entre las regiones de Valparaíso y del Maule (Fig. 14b) (Aguilera *et al.* 2022). Esta área corresponde a la parte sur de la Subregión de Chile Central y la parte norte de la Subregión Subantártica, en lo que corresponde a la Provincia de Santiago y Provincia de Maule (Morrone 2015). En los sectores donde se encuentran sus mayores poblaciones el clima predominante es el de tipo Mediterráneo, caracterizado por una estación seca larga y un corto invierno lluvioso. La temperatura media anual es de 14 °C, el mes más cálido corresponde a enero, alcanzando una temperatura media de 22 °C, y el más frío es julio con 7 °C. El sello característico lo constituyen las lluvias de invierno, cuyas variaciones permiten destacar condiciones bastantes precarias alcanzando promedios anuales de 350 mm; las precipitaciones decrecen desde la costa hacia la depresión intermedia, para aumentar nuevamente en la cordillera de los Andes (Inzunza 2000). *Grammostola rosea* habita desde sectores costeros a nivel del mar (Fig. 8e), hasta sobre los 2.000 msnm en la cordillera de los Andes (Fig.

9f). Es frecuente observarla en laderas y quebradas donde predominan los árboles y arbustos esclerófilos como boldo, peumo, colliguay y romerillo (*Baccharis linearis* (Ruiz y Pav.) Pers.), como también entre arbustos xerófitos bajos y espinosos, como espino, tebo (*Retamilla trinervia* (Gillies y Hook.) Hook. y Arn.) y tralhuén (*Trevoa quinque nervia* (Gillies y Hook.) I. M. Johnst. (Figs. 8e-f) (Aguilera *et al.* 2019). Puede construir sus madrigueras directamente cavando en el suelo (Figs. 9a, d), al costado de una piedra (Fig. 9b), o entre dos grandes piedras (Fig. 9c). Las hembras pueden excavar madrigueras de hasta de 40 cm de profundidad (Aguilera *et al.* 2019).

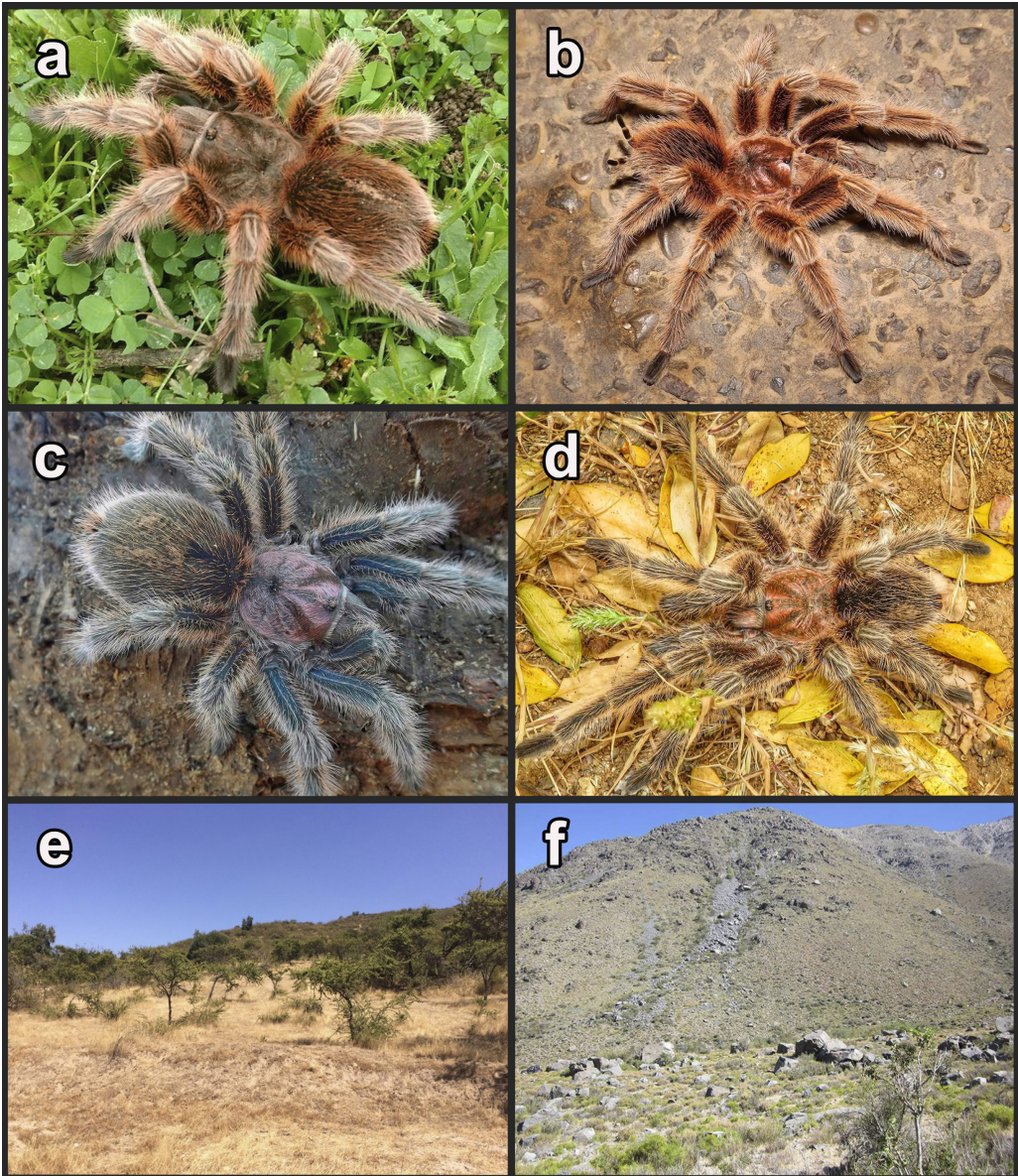


Figura 8. a-b, e. *Grammostola rosea* morfotipo rojo. a. Hembra. b. Macho. e. Hábitat general, Papudo, Región de Valparaíso. c-d, f. *G. rosea* morfotipo gris. c. Hembra. d. Macho. f. Hábitat general, San Esteban, Región de Valparaíso. / **Figure 8.** a-b, e. *Grammostola rosea* red morphotype. a. Female. b. Male. e. General habitat, Papudo, Valparaíso Region. c-d, f. *G. rosea* gray morphotype. c. Female. d. Male. f. General habitat, San Esteban, Valparaíso Region.

Estado de conservación. La única especie del género presente en Chile, *Grammostola rosea*, se encuentra incluida en la Ley de Caza N° 19.473 del año 2015. Además, también ha sido incorporada al Reglamento para la Clasificación de Especies Silvestres del Ministerio del Medio Ambiente bajo la categoría de “Vulnerable” (VU) (MMA 2024).

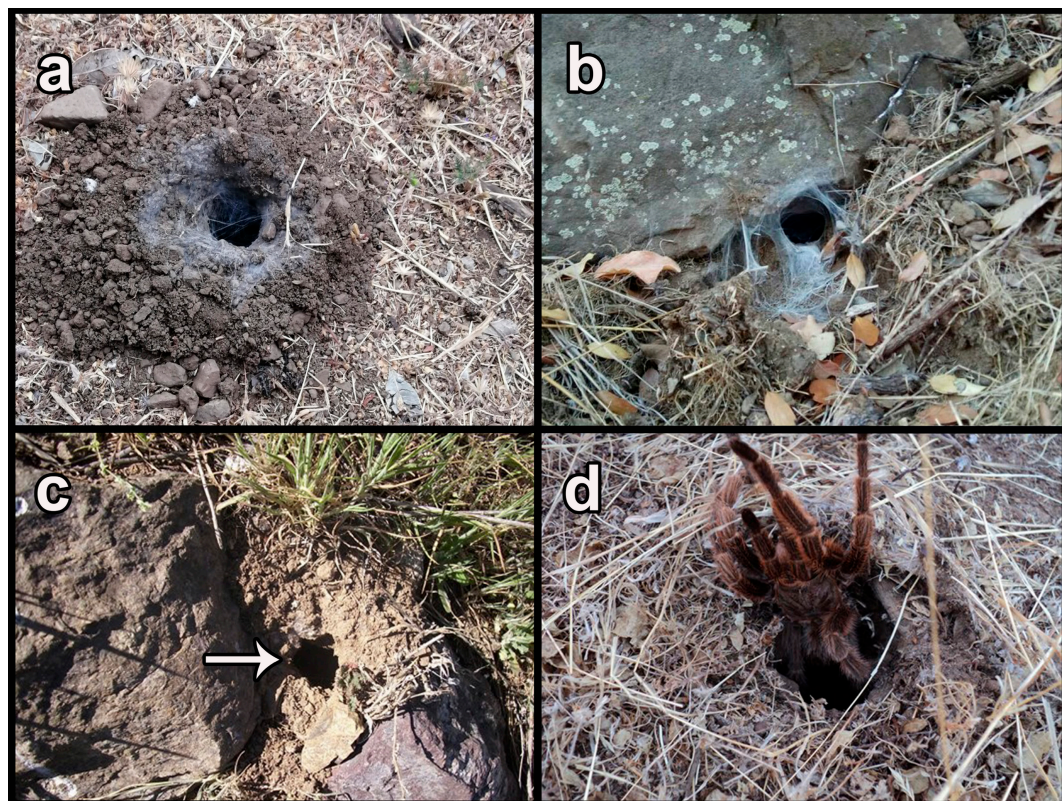


Figura 9. *Grammostola rosea*. **a.** Madriguera construída directamente sobre el sustrato. **b.** Madriguera construída al costado de una piedra. **c.** Madriguera construída entre dos grandes piedras (flecha indica la madriguera). **d.** Hembra adulta saliendo de su madriguera. / **Figure 9.** *Grammostola rosea*. **a.** Burrow built directly on the substrate. **b.** Burrow built into the side of a rock. **c.** Burrow built between two large stones (arrow indicates the burrow). **d.** Adult female emerging from her burrow.

Género *Homoeomma* Ausserer, 1871

Butantania Mello-Leitão, 1935 (removido del sinónimo of *Dryptopelma* = *Cyclosternum*) = *Homoeomma* Ausserer, 1871 (Pérez-Miles *et al.* 1996: 52, contra Raven 1985: 150).

Calopelma Chamberlin, 1917 = *Homoeomma* Ausserer, 1871 (Gerschman y Schiapelli 1972: 241).

Cyclothoracoides Strand, 1929 = *Homoeomma* Ausserer, 1871 (Lucas y Indicatti 2015: 210, contra Raven 1985: 151, quien lo consideró sinónimo de *Hapalotremus*).

Especie tipo. *Homoeomma stradlingi* O. Pickard-Cambridge, 1881.

Especies presentes en Chile. *Homoeomma chilense* Montenegro y Aguilera, 2018 y *Homoeomma orellanai* Montenegro y Aguilera, 2018.

Diagnosis. Bulbo copulador de los machos con tres quillas (PS, PI y A) y el émbolo fuertemente curvado y una apófisis tegular digitiforme basal (Figs. 2e-f; ver Sherwood *et al.* 2018, Fig. 6); apófisis tibial con dos ramas divergentes, siendo la RR más grande que la RP y fusionadas en la base (Figs. 3e-f), con una espina subapical sobre la RR y una espina basal sobre la RP; metatarso I de los machos curvado; flexión del metatarso I entre las ramas de la apófisis tibial o tocando parcialmente el ápice de la RR; presencia de un nódulo ventral en la base del metatarso I (Figs. 3e-f); espermateca de las hembras con una base cuadrangular o trapezoizal terminada en un lóbulo superior (Figs. 1f; 4d); un solo parche dorsal de setas urticantes abdominales tipo III-IV (Montenegro *et al.* 2018; Sherwood *et al.* 2018; Pérez-Miles y Perafán 2020).

Descripción corporal. Arañas de tamaño pequeño (2-3 cm de largo corporal sin incluir quelíceros ni hilanderas). Caparazón más largo que ancho, de color marrón oscuro o casi negro. Palpos y patas color negro, cubiertas de abundantes setas grises o blanquecinas. Abdomen negro cubierto de setas grises o blanquecinas junto con un penacho de setas amarillentas o rojizas/anaranjadas en la base del abdomen, y otro más pequeño bajo las hilanderas, y sin un patrón abdominal definido. Setas urticantes abdominales agrupadas en un parche dorsal poco definido (Figs. 10a-d).

Distribución e historia natural. El género se encuentra presente entre las regiones de O'Higgins y Ñuble (Fig. 15a) (Montenegro *et al.* 2018), en lo que corresponde a la parte sur de la Subregión de Chile Central y la parte norte de la Subregión Subantártica, en lo que corresponde a las Provincias de Santiago y del Maule (Morrone 2015).

Homoeomma chilense es una especie endémica de Chile que se distribuye entre las regiones del Maule y Ñuble. Las condiciones climáticas pertenecen a las de clima Templado Mediterráneo con diferencias en sentido norte-sur, con una estación seca de 4 meses. Las máximas temperaturas medias anuales son de 19 °C con extremas superiores a los 30 °C, en cambio en invierno las temperaturas mínimas medias son de 7 °C, con extremas de 0 °C o menor. Hacia el interior de la región las temperaturas son menos extremas, donde las precipitaciones alcanzan unos 1.400 mm anuales (Inzunza 2000). Las poblaciones ubicadas más al norte han sido encontradas en asociación con el bosque esclerófilo, compuesto principalmente por maitén, quila (*Chusquea quila* Kunth), quillay, peumo y boldo (Fig. 10e), mientras que las poblaciones más australes, donde la humedad ambiental es mayor, han sido halladas en bosques de *Nothofagus* Blume (*Nothofagaceae*), de ruil principalmente. Construye sus madrigueras bajo piedras (Fig. 11a) en sectores con abundante vegetación y, en muchos casos, cercanas a cursos de agua (Montenegro *et al.* 2018). Es frecuente observar dos o más individuos adultos habitando bajo una misma piedra (Fig. 11c).

Homoeomma orellanai es una especie endémica de Chile que se encuentra en las regiones de O'Higgins y del Maule, con presencia desde la depresión intermedia hasta la precordillera de los Andes. El clima predominante corresponde al Templado Mediterráneo, el cual se presenta nuboso en la costa, mientras que hacia el interior, debido a la sequedad, presenta fuertes contrastes térmicos. Las precipitaciones alcanzan cifras cercanas a los 823,5 mm anuales. La temperatura media anual alcanza a los 12,6 °C, y la amplitud térmica anual es de 4,8 °C y la diaria de 6,4 °C (Inzunza 2000). *Homoeomma orellanai* prefiere habitar en laderas de solana, con un claro predominio de espinos y arbustos bajos, aunque también se le puede encontrar en ocasiones dentro del bosque esclerófilo (Fig. 10f). Suele habitar en zonas pedregosas, construyendo pequeñas cámaras bajo piedras (Fig. 11b). Al igual como ocurre con *H. chilensis*, es frecuente observarla conviviendo con otros individuos adultos bajo una misma piedra.

Estado de conservación. Ambas especies del género han sido incluidas en el Reglamento para la Clasificación de Especies Silvestres del Ministerio del Medio Ambiente. *Homoeomma chilense* se encuentra bajo la categoría de “Vulnerable” (VU) y *H. orellanai* bajo la categoría de “En Peligro” (EN) (MMA 2024).

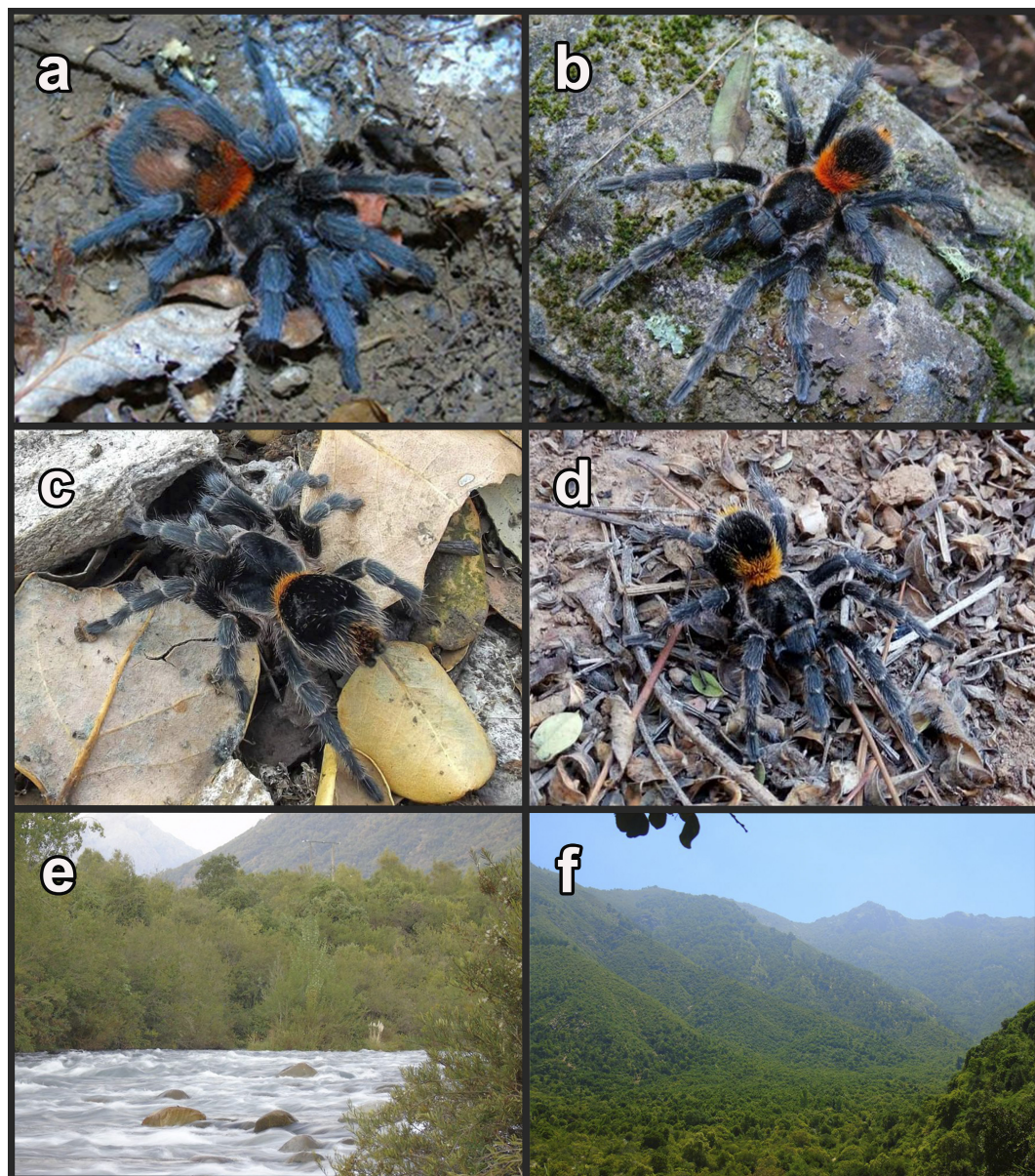


Figura 10. a-b, e. *Homoeomma chilense*. a. Hembra. b. Macho. e. Hábitat general, Ancoa, Región del Maule. c-d-f. *Homoeomma orellanai*. c. Hembra. d. Macho. f. Hábitat general, Curicó, Región del Maule.
/ **Figura 10. a-b-e. *Homoeomma chilense*. a. Female. b. Male. e. General habitat, Ancoa, Maule Region. c-d-f. *Homoeomma orellanai*. c. Female. d. Male. f. General habitat, Curicó, Maule Region.**

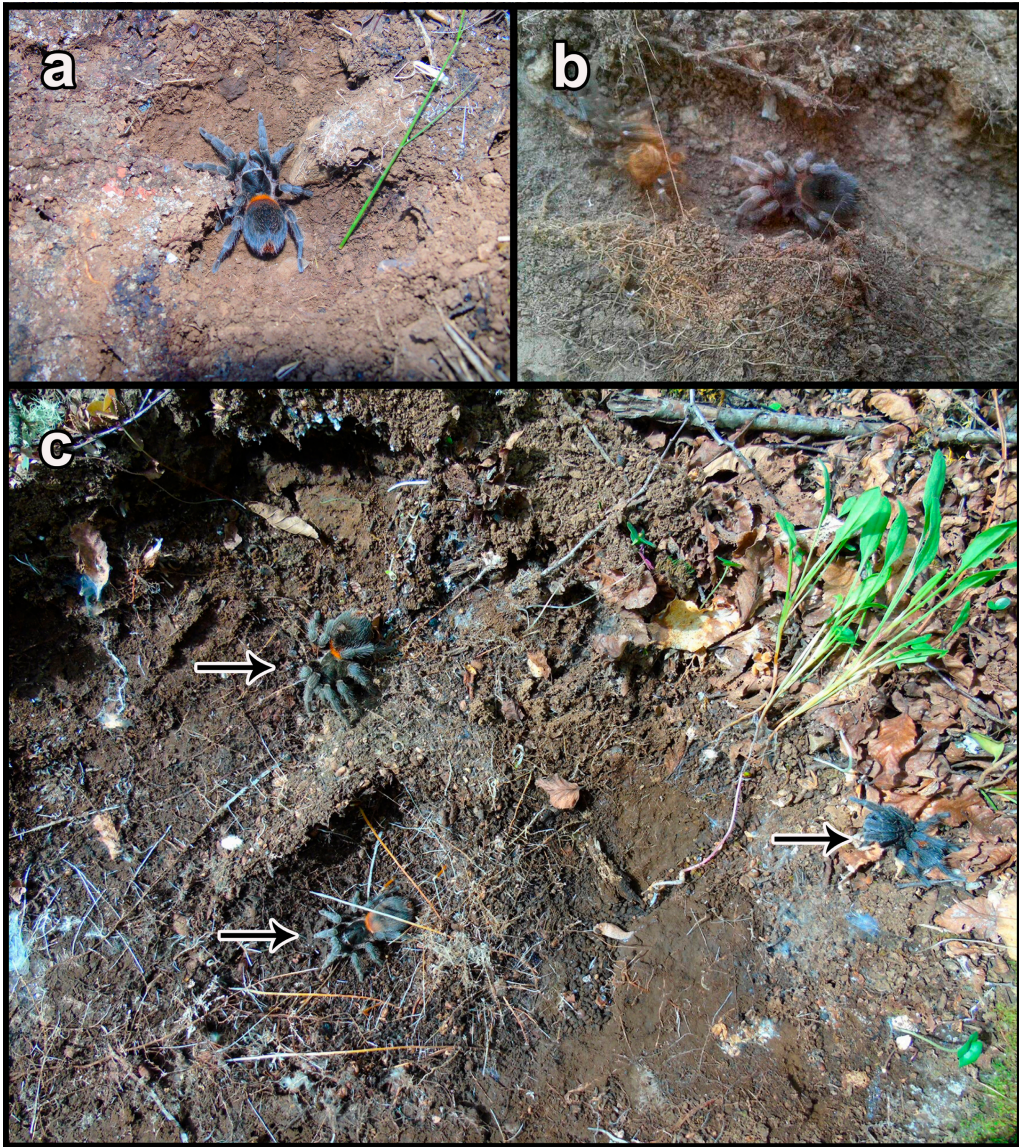


Figura 11. *Homoeomma* spp., madrigueras bajo piedras. **a.** *H. chilense*, hembra adulta. **b.** *H. orellanai*, hembra adulta. **c.** Tres individuos adultos de *H. chilense* conviviendo bajo la misma piedra (flechas indican los 3 individuos). / **Figure 11.** *Homoeomma* spp., burrows under stones. **a.** *H. chilense*, adult female. **b.** *H. orellanai*, adult female. **c.** Three adult individuals of *H. chilense* living under the same stone (arrows indicate the three individuals).

Género *Phrixotrichus* Simon, 1889

Orthotrichus Karsch 1880: 390. (preocupado).

Ashantia Strand 1908: 770.

Especie tipo. *Phrixotrichus scrofa* (Molina, 1782).

Especies presentes en Chile. *Phrixotrichus jara* Perafán y Pérez-Miles, 2014, *Phrixotrichus scrofa* (Molina, 1782) y *Phrixotrichus vulpinus* (Karsch, 1880).

Diagnosis. Bulbo copulador de los machos con solamente dos quillas (PS y PI) y el ápice direccionado retrolateralmente (Figs. 2g-h); apófisis tibial formada por dos ramas no fusionadas en la base, siendo la RR mucho más larga que la RP (Figs. 3g-h), con una espina apical sobre la RR y, en algunos casos, también una basal sobre la RP; flexión del metatarso I sobre el costado retrolateral de la apofisis tibial; receptáculos espermáticos de las hembras con bases anchas con una cámara lateral semi-esferoidal que puede o no presentar lóbulos (Figs. 4e-f); setas urticantes tipo III-IV ubicadas en dos parches dorsolaterales sobre el abdomen (Figs. 1b, c; 12b, d) (Perafán y Pérez-Miles 2014; Pérez-Miles y Perafán 2020).

Descripción corporal. Arañas de tamaño mediano (5-6 cm de largo corporal, sin incluir quelíceros ni hilanderas). Caparazón igual de largo que ancho, de color negro cubierto de setas color rosa, blanquecinas o amarillentas. Palpos y patas de color negro, con largas y abundantes setas amarillentas o anaranjadas. Abdomen negro cubierto de setas amarillentas y anaranjadas, con un pequeño penacho de setas rojizas en la base del abdomen y un pequeño patrón abdominal a rayas restringido al tercio final del mismo. Setas urticantes abdominales agrupadas en dos parches circulares dorsolaterales (Figs. 12a-d).

Distribución e historia natural. El género se encuentra presente en las regiones del Biobío y de Los Ríos (Fig. 15b). Es el taxón de tarántulas con la distribución más austral de Chile, distribuyéndose principalmente entre el límite sur de la Provincia de Santiago y el norte de la Provincia del Bosque Valdiviano, en lo que corresponde a la Subregión de Chile central y la Subregión Subantártica, respectivamente (Morrone 2015).

Phrixotrichus scrofa es una especie nativa de Chile y Argentina, habitando en Chile exclusivamente en los bosques costeros de la Región del Biobío (Fig. 15b). Específicamente en el sector de Nonguén se encuentra uno de los últimos remanentes importante del bosque caducifolio de Concepción, que antes cubría la cordillera de la Costa y que ha sido reemplazado casi en su totalidad por cultivos agrícolas y plantaciones forestales (Armesto *et al.* 1996) (Fig. 12e). Originalmente, este bosque ha estado representado por roble (*Nothofagus obliqua* (Mirb.) Oerst.), coigüe (*N. dombeyi* (Mirb.) Oerst.), lenga (*N. pumilio* (Poepp. y Endl.) Krasser), hualo (*N. glauca* (Phil.) Krasser), huala (*N. leonii* Espinosa) y olivillo (*Aextoxicon punctatum* Ruiz y Pav.). Desde el punto de vista climático, la región marca la transición entre los climas Templados secos de la zona central de Chile y los climas Templados lluviosos que se desarrollan inmediatamente al sur del río Bio-Bío (Inzunza 2000). La temperatura promedio anual es de 12,7 °C, mientras que la promedio en verano es de 17 °C y en invierno de 8 °C (Inzunza 2000). Estas arañas son particularmente errantes, por lo que es frecuente observar individuos adultos caminando sobre el piso del bosque o trepados sobre troncos de árboles a más de dos metros de altura (Fig. 13f). Durante el año prefieren ocultarse bajo piedras, terrones o troncos de árboles caídos, pero en periodos de formación de ovisaco (verano en el hemisferio sur), las hembras suelen construir madrigueras muy expuestas, formadas por ramas, hojas y abundante seda, que en ocasiones pueden alcanzar los 30 cm de profundidad (Fig. 13c). Por su parte, los juveniles suelen encontrarse sobre las ramas de los árboles y arbustos, principalmente “coligues” (*Chusquea* spp.) construyendo nidos, alimentándose y cambiando el exoesqueleto sobre el follaje de estos (Figs. 13d-e).

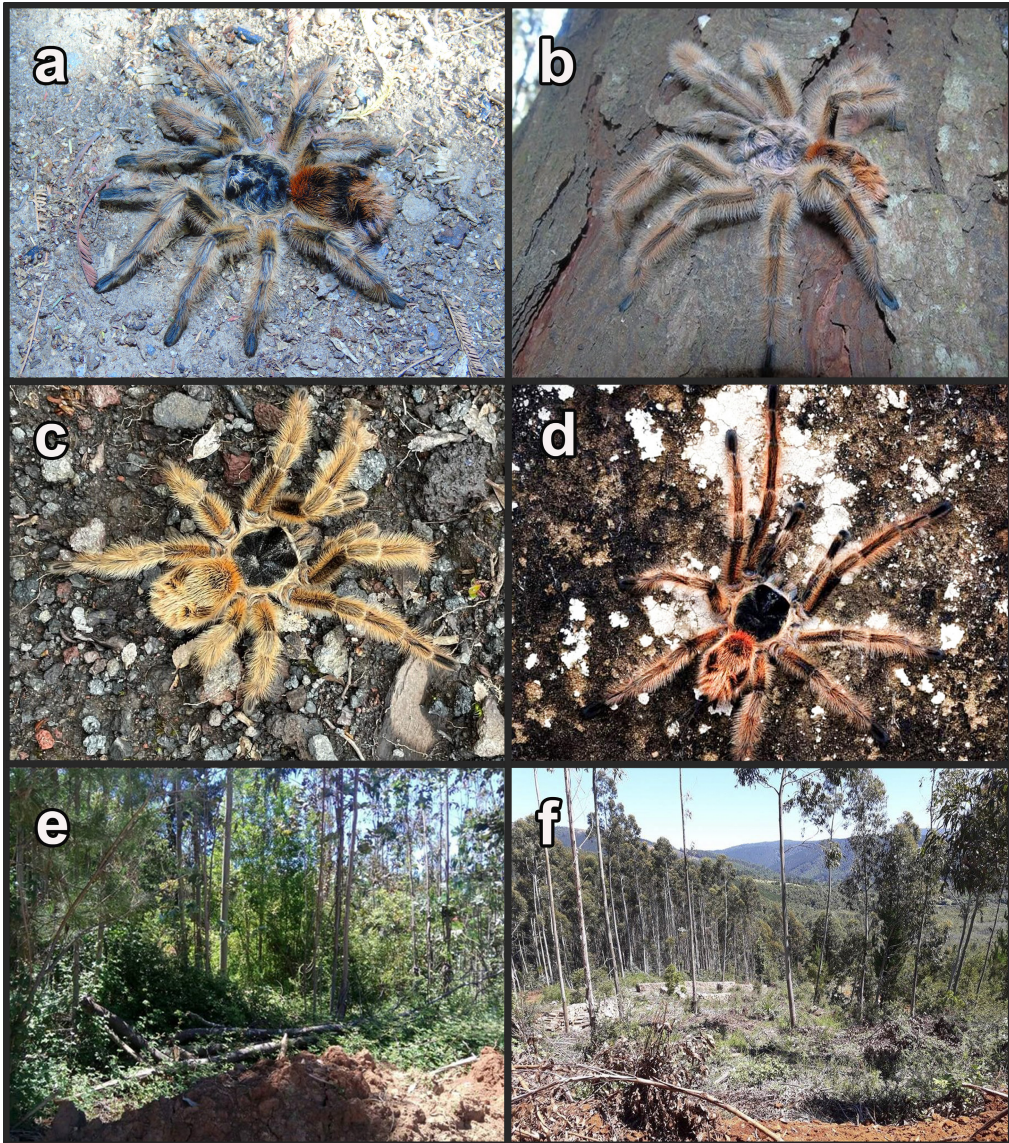


Figura 12. a-b, e. *Phrixotrichus scrofa*. a. Hembra. b. Macho. e. Hábitat general, Nonguén, Región del Biobío. c-d, f. *P. vulpinus*. c. Hembra. d. Macho. f. Hábitat general, Punucapa, Región de Los Ríos. / Figure 12. a-b, e. *Phrixotrichus scrofa*. a. Female. b. Male. e. General habitat, Nonguén, Biobío Region. c-d, f. *P. vulpinus*. c. Female. d. Male. f. General habitat, Punucapa, Los Ríos Region.

Phrixotrichus vulpinus es una especie nativa de Chile y Argentina, siendo la tarántula chilena con la distribución más austral, teniendo registros en la Región de los Ríos y, probablemente, también se encuentre presente en la Región de Los Lagos (Montenegro obs. pers.). El clima de la región es Templado lluvioso, con un régimen de precipitaciones distribuidas a lo largo de todo el año y ausencia de períodos secos largos. La temperatura promedio es de 11 °C con una baja oscilación térmica en la costa producto de la influencia marítima; aunque en invierno hay temperaturas bajo cero (Inzunza 2000). Debido al clima excesivamente lluvioso y temperaturas templadas, los árboles alcanzan grandes alturas (50-60 m de altura), formando la característica “Selva Valdiviana”. La mayor parte de estos árboles son “siempre verdes”, entre los cuales se destacan roble, coigüe, lenga, hualo,

huala, olivillo, alerce (*Fitzroya cupressoides* (Molina) I. M. Johnst.) y avellano (*Gevuina avellana* Molina). Sin embargo, cabe mencionar que al igual como ocurre con el hábitat de *P. scrofa*, en muchos sectores el bosque nativo ha sido reemplazado por cultivos agrícolas y plantaciones forestales (Fig. 12f). Al igual como ocurre con otras especies de *Phrixotrichus*, el tipo de nido o madriguera dependerá de la época del año y del estado de desarrollo del individuo. Las temperaturas frías de los meses de invierno generan un abundante nevazón que obliga a *P. vulpinus* a encerrarse y permanecer varios meses bajo la nieve. Al igual que *P. scrofa*, es frecuente observarlas trepadas sobre los troncos de los árboles (Figs. 13a-b).

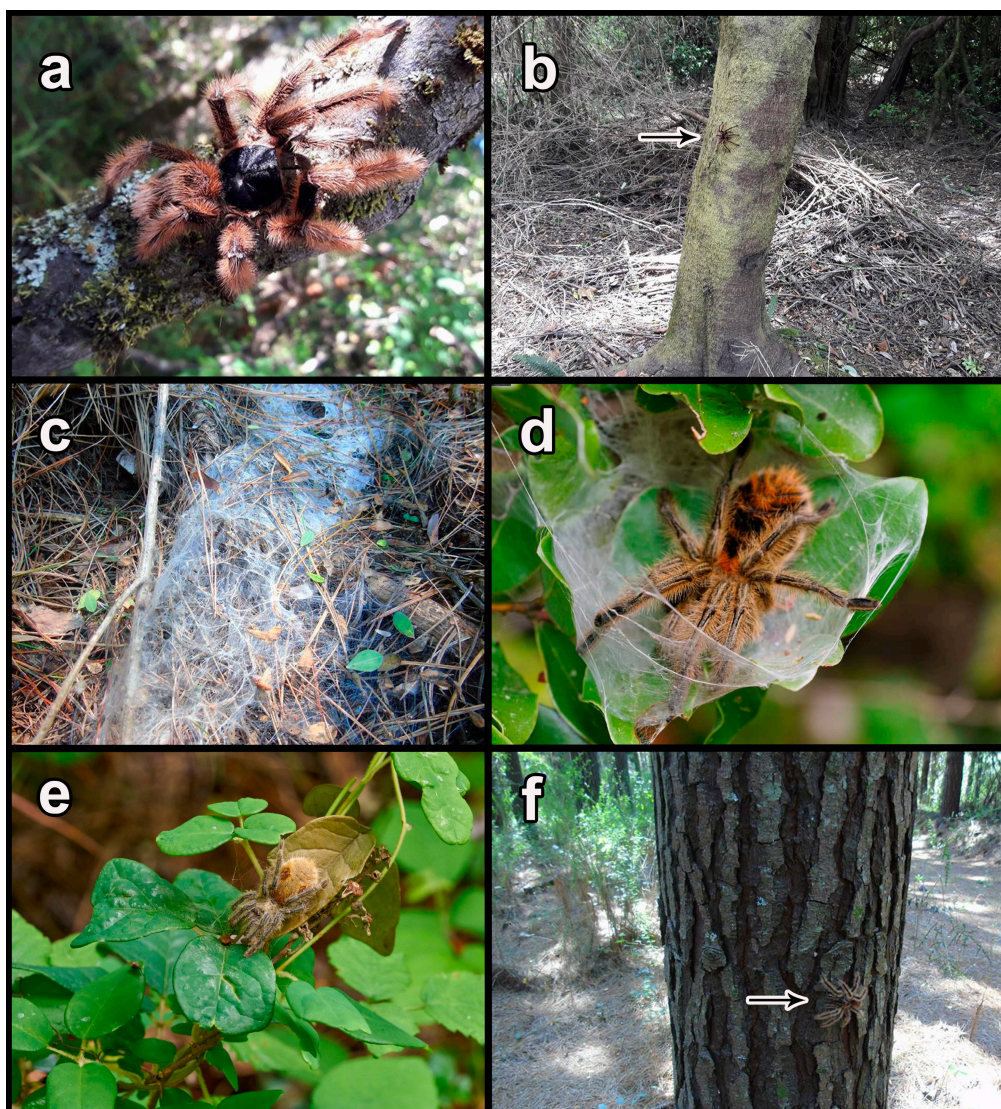


Figura 13. *Phrixotrichus* spp. **a.** Hembra adulta de *P. vulpinus* sobre una rama. **b.** Macho adulto de *P. vulpinus* trepado un par de metros sobre el tronco de un árbol (flecha indica la ubicación del macho). **c.** Madriguera de *P. scrofa*. **d-e.** Juveniles de *P. scrofa* trepados sobre la vegetación. **f.** Macho adulto de *P. scrofa* trepado sobre el tronco de un árbol (flecha indica la ubicación del macho). / **Figure 13.** *Phrixotrichus* spp. **a.** Adult female of *P. vulpinus* on a branch. **b.** Adult male *P. vulpinus* climbed a couple of meters up a tree trunk (arrow indicates the location of the male). **c.** Burrow of *P. scrofa*. **d-e.** Youth of *P. scrofa* climbed over the vegetation. **f.** Adult male *P. scrofa* climbing on a tree trunk (arrow indicates location of male).

Phrixotrichus jara es una especie endémica de Chile y solo conocida de la localidad típica, al ser esta Nonguén, la misma de *P. scrofa*, podemos inferir que los datos sobre el hábitat e historia natural serían los mismos.

Estado de conservación. *Phrixotrichus vulpinus* se encuentra incluida en la Ley de Caza N° 19.473 del año 2015. Además, estas dos especies, *Phrixotrichus scrofa* y *P. vulpinus* se encuentran incluidas en el Reglamento para la Clasificación de Especies Silvestres del Ministerio del Medio Ambiente. *Phrixotrichus scrofa* y *P. vulpinus* se encuentran bajo la categoría de “En Peligro” (EN) (MMA 2024).

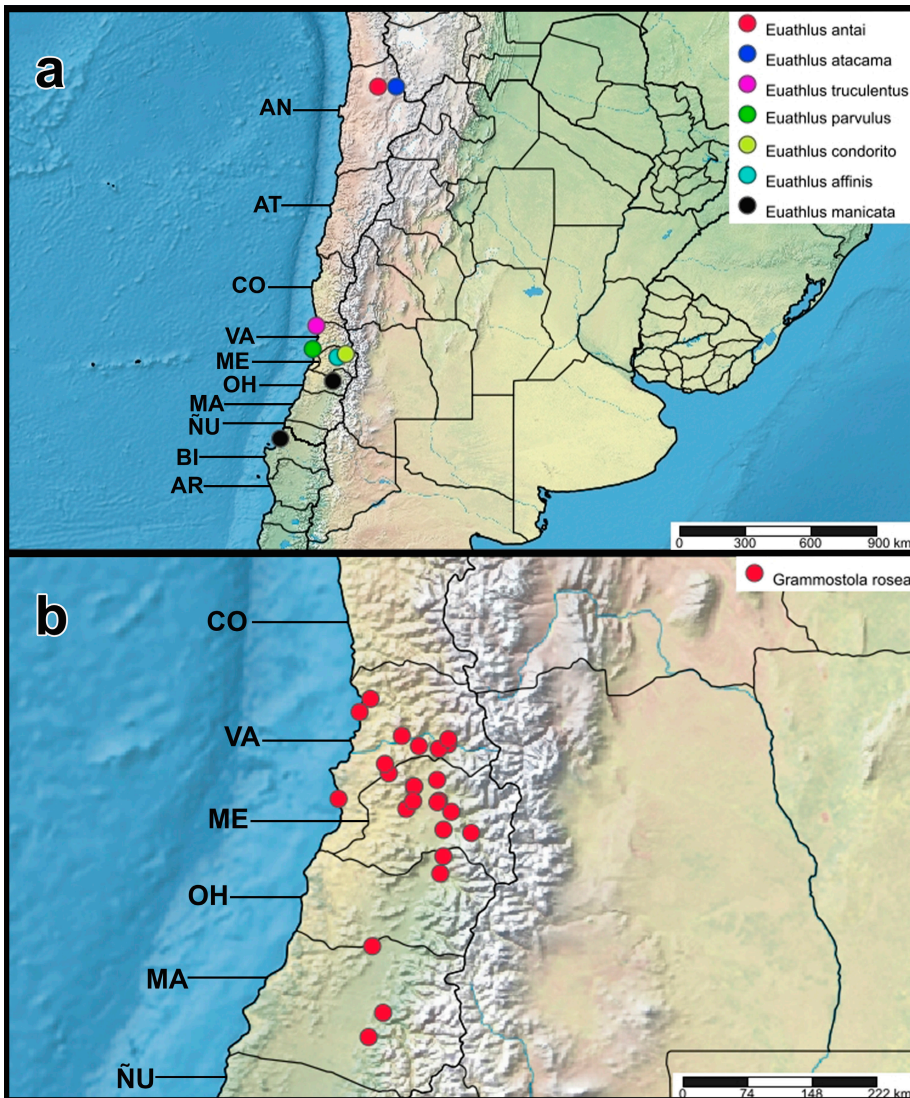


Figura 14. Mapa de distribución. **a.** Mapa de las especies de *Euathlus* presentes en Chile. **b.** Mapa de las especies de *Grammostola* presentes en Chile. Regiones de Chile: AN= Antofagasta; AT= Atacama; CO= Coquimbo; VA= Valparaíso; ME= Metropolitana; OH= O'Higgins; MA= Maule; ÑU= Ñuble; BI= Biobío; AR= Araucanía. / **Figure 14.** Distribution map. **a.** Map of *Euathlus* species present in Chile. **b.** Map of *Grammostola* species present in Chile. Regions of Chile: AN= Antofagasta; AT= Atacama; CO= Coquimbo; VA= Valparaíso; ME= Metropolitana; OH= O'Higgins; MA= Maule; ÑU= Ñuble; BI= Biobío; AR= Araucanía.

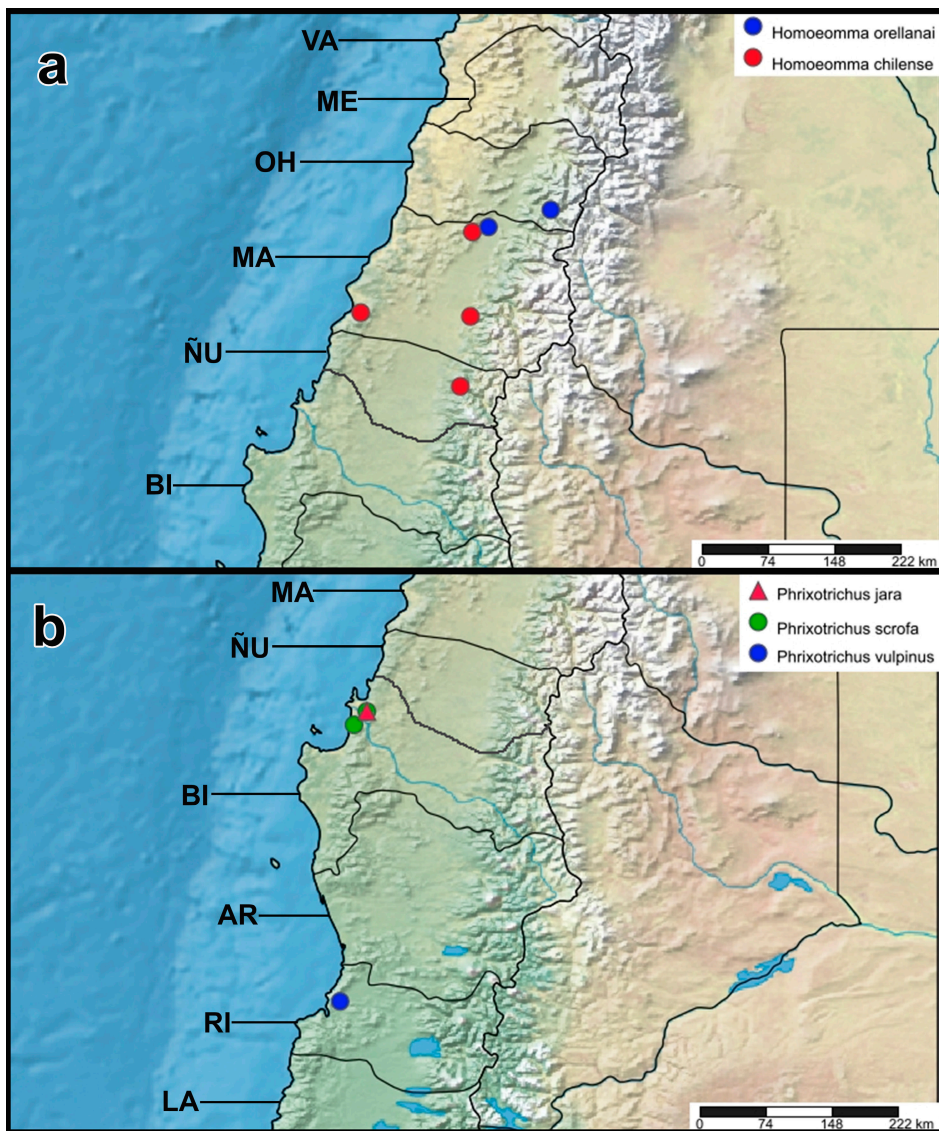


Figura 15. Mapa de distribución. **a.** Mapa de las especies de *Homoeomma* presentes en Chile. **b.** Mapa de las especies de *Phrixotrichus* presentes en Chile. Regiones de Chile: VA= Valparaíso; ME= Metropolitana; OH= O'Higgins; MA= Maule; ÑU= Ñuble; BI= Biobío; AR= Araucanía; RI= Los Ríos; LA= Los Lagos. / **Figure 15.** Distribution map. **a.** Map of *Homoeomma* species present in Chile. **b.** Map of *Phrixotrichus* species present in Chile. Regions of Chile: VA= Valparaíso; ME= Metropolitana; OH= O'Higgins; MA= Maule; ÑU= Ñuble; BI= Biobío; AR= Araucanía; RI= Los Ríos; LA= Los Lagos.

Agradecimientos

Agradecemos a Andrés Olivera y Roberto Rojas por su valioso apoyo en terreno, así como también a todos aquellos que amablemente facilitaron sus fotografías para este artículo. Agradecemos a los revisores y al editor de la revista por sus valiosos comentarios y sugerencias. Res N° 6972/2019 SAG Metropolitano y autorización N°019/2019 CONAF, Santiago, Chile. Publicación financiada por Aracno Inc. SpA. y Fundación Núcleo Aracnológico Grado 36.

Contribución de los Autores

RMV: Preparación del borrador original, conceptualización, investigación, visualización, edición. **MAA:** Revisión de textos y de los análisis, validación.

Literatura Citada

- Aguilera, M.A., Montenegro, R. y Casanueva, M.E. (2019)** Impact of disturbed areas on Theraphosidae spiders diversity (Araneae) and first population data of *Grammostola rosea* (Walckenaer) in Panul Park. *Ecology and Evolution*, 9: 58025809. <https://doi.org/10.1002/ece3.5163>
- Aguilera, M.A., Montenegro, R. y Casanueva, M.E. (2022)** Revised taxonomic placement and distribution update of *Grammostola* Simon, 1892, *Phrixotrichus* Simon, 1889 and *Thrixopelma* Schmidt, 1994 species, a chaotic history of Chilean tarantulas (Araneae, Theraphosidae). *Revista Ibérica de Aracnología*, 40: 63-71.
- Armesto, J., Kalin Arroyo, M. y Villagrán, C. (1996)** Ecología de los bosques nativos de Chile. Universitaria. Santiago de Chile. 470 pp.
- Bertani, R. y Fukushima, C.S. (2004)** *Polyspinosa* Schmidt, 1999 (Araneae, Theraphosidae, Eumenophorinae) is a synonym of *Grammostola* Simon, 1892 (Araneae, Theraphosidae, Theraphosinae). *Revista Ibérica de Aracnología*, 9: 329-331.
- Cooke, J.A.L., Roth, V.D. y Miller, F.H. (1972)** The urticating hairs of theraphosid spider. *American Museum Novitates*, 2498: 1-43.
- Fukushima, C.S. y Bertani, R. (2017)** Taxonomic revision and cladistic analysis of *Avicularia* Lamarck, 1818 (Araneae, Theraphosidae, Aviculariinae) with description of three new aviculariine genera. *ZooKeys*, 659: 1-185. <http://doi.org/10.3897/zookeys.659.10717>
- Galleti-Lima, A., Hamilton, C.A., Borges, L.M. y Guadanucci, J.P.L. (2023)** Phylogenomics of Lasiodoriforms: reclassification of the South American genus *Vitalius* Lucas, Silva and Bertani and allied genera (Araneae: Theraphosidae). *Frontiers in Ecology and Evolution*, 11(1177627): 1-19. <https://doi.org/10.3389/fevo.2023.1177627>
- Gerschman de P., B.S. y Schiapelli, R.D. (1972)** El género *Homoeomma* Ausserer 1871 (Araneae: Theraphosidae). *Physis, Revista de la Sociedad Argentina de Ciencias Naturales*, 31: 237-258.
- Hedin, M., Derkarabetian, S., Ramírez, M.J., Vink, C. y Bond, J.E. (2018)** Phylogenomic reclassification of the world's most venomous spiders (Mygalomorphae, Atracinae), with implications for venom evolution. *Scientific Reports*, 8(1636): 1-7. <https://doi.org/10.1038/s41598-018-19946-2>
- Inzunza, J. (2000)** Meteorología descriptiva y aplicaciones en Chile. Departamento de Geofísica. Concepción, Chile: Universidad de Concepción. 34 pp.
- Karsch, F. (1880)** Arachnologische Blätter (Decas I). *Zeitschrift für die Gesamten Naturwissenschaften, Dritte Folge*, 5: 373-409, pl. 12.
- Legendre, R. y Calderón G., R. (1984)** Liste systématique des araignées mygalomorphes du Chili. *Bulletin du Muséum National d'Histoire Naturelle de Paris*, 6(4): 1021-1066.
- Lucas, S.M. y Indicatti, R.P. (2015)** Revalidation of *Dolichothele* Mello-Leitão and notes on *Hapalotremus* Simon (Araneae, Mygalomorphae, Theraphosidae). *Studies on Neotropical Fauna and Environment*, 50(3): 204-212.
- Lüddecke, T., Krehenwinkel, H., Canning, G., Glaw, F., Longhorn, S.J., Tänzler, R., Wendt, I. y Vences, M. (2018)** Discovering the silk road: Nuclear and mitochondrial sequence data resolve the phylogenetic relationships among theraphosid spider subfamilies. *Molecular Phylogenetics and Evolution*, 119: 63-70. <https://doi.org/10.1016/j.ympev.2017.10.015>

- Miglio, L.T., Perafán, C. y Pérez-Miles, F. (2024)** *Jambu*, a new genus of tarantula from Brazil (Araneae, Theraphosidae, Theraphosinae). *European Journal of Taxonomy*, 930: 229-248. <https://doi.org/10.5852/ejt.2024.930.2497>
- MMA [Ministerio del Medio Ambiente] (2024)** Clasificación según estado de conservación. Ministerio del Medio Ambiente de Chile. Disponible en: <http://www.mma.gob.cl/clasificacionespecies/index.htm>. Consultado: 19-4-2024.
- Montenegro Vargas, R., Aguilera, M.A. y Casanueva, M.E. (2018)** First record of *Homoeomma* Ausserer, 1871 in Chile and description of two new species (Araneae, Theraphosidae). *Spixiana*, 41(1): 13-25.
- Montes de Oca, L., D'Elía, G. y Pérez-Miles, F. (2016)** An integrative approach for species delimitation in the spider genus *Grammostola* (Theraphosidae, Mygalomorphae). *Zoologica Scripta*, 45(3): 322-333. <https://doi.org/10.1111/zsc.12152>
- Morrone, J.J. (2015)** Biogeographical regionalisation of the Andean region. *Zootaxa*, 3936(2): 207-36. <https://doi.org/10.11646/zootaxa.3936.2.3>
- Opatova, V., Hamilton, C.A., Hedin, M., Montes de Oca, L., Král, J. y Bond, J.E. (2020)** Phylogenetic systematics and evolution of the spider infraorder Mygalomorphae using genomic scale data. *Systematic Biology*, 69(4): 671-707. <https://doi.org/10.1093/sysbio/syz064>
- Perafán, C. y Pérez-Miles, F. (2014)** The Andean tarantulas *Euathlus* Ausserer, 1875, *Paraphysa* Simon, 1892 and *Phrixotrichus* Simon, 1889 (Araneae: Theraphosidae): phylogenetic analysis, genera redefinition and new species descriptions. *Journal of Natural History*, 48(39-40): 2389-2418. <https://doi.org/10.1080/00222933.2014.902142>
- Pérez-Miles, F. (2020)** Introduction to the Theraphosidae. New World Tarantulas. (ed. Pérez-Miles, F.), Pp. 1-23. *Zoological Monographs*. https://doi.org/10.1007/978-3-030-48644-0_1
- Pérez-Miles, F. y Perafán, C. (2020)** Theraphosinae. New World Tarantulas. (ed. Pérez-Miles, F.), Pp. 121-151. *Zoological Monographs*. https://doi.org/10.1007/978-3-030-48644-0_5
- Pérez-Miles, F., Lucas, S.M., Silva Jr., P.I. da y Bertani, R. (1996)** Systematic revision and cladistic analysis of Theraphosinae (Araneae: Theraphosidae). *Mygalomorph*, 1: 33-68.
- Quispe-Colca, O.M. y Ferretti, N.E. (2021)** First record of the tarantula genus *Euathlus* (Araneae: Theraphosidae: Theraphosinae) in Peru, with the description of a threatened new species. *Iheringia, Série Zoologia*, 111(e2021026): 1-10. <http://doi.org/10.1590/1678-4766e2021026>
- Raven, R.J. (1985)** The spider infraorder Mygalomorphae (Araneae): cladistics and systematics. *Bulletin of the American Museum of Natural History*, 182: 1-180.
- Ríos-Tamayo, D. (2020)** Three new species of *Euathlus* Ausserer, 1875 (Araneae, Theraphosidae) from Argentina. *Studies on Neotropical Fauna and Environment*, 55(2): 83-95. <http://doi.org/10.1080/01650521.2019.1696653>
- Simon, E. (1892)** Histoire naturelle des araignées. Deuxième édition, tome premier. Roret, Paris, Pp. 1-256. <http://doi.org/10.5962/bhl.title.51973>
- Schmidt, G. (1994)** Das Männchen von *Tapinauchenius gigas* di Caporiacco, 1954 (Araneida: Theraphosidae: Aviculariinae). *Arachnologisches Magazin*, 2(5): 2-8.
- Shorthouse, D.P. (2010)** SimpleMappr, an online tool to produce publication-quality point maps. Disponible en: <http://www.simplemappr.net>
- Sherwood, D., Gabriel, R. y Longhorn, S.J. (2018)** A new species of *Homoeomma* Ausserer, 1871 from Chile (Araneae: Theraphosidae). *Journal of the British Tarantula Society*, 33(3): 19-33.
- Strand, E. (1908)** Diagnosen neuer aussereuropäischer Spinnen. *Zoologischer Anzeiger*, 32: 769-773.

- Turner, S.P., Longhorn, S.J., Hamilton, C.A., Gabriel, R., Pérez-Miles, F. y Vogler, A.P. (2018)** Re-evaluating conservation priorities of New World tarantulas (Araneae: Theraphosidae) in a molecular framework indicates non monophyly of the genera, *Aphonopelma* and *Brachypelma*. *Systematics and Biodiversity*, 16(1): 89-107. <https://doi.org/10.1080/14772000.2017.1346719>
- West, R.C., Marshall, S.D., Fukushima, C.S. y Bertani, R. (2008)** Review and cladistic analysis of the Neotropical tarantula genus *Epebopus* Simon 1892 (Araneae: Theraphosidae) with notes on the Aviculariinae. *Zootaxa*, 1849: 35-58.
- World Spider Catalog (2024)** World Spider Catalog. Version 25.0. Natural History Museum Bern. Disponible en <http://wsc.nmbe.ch>. Consultado: 2-6-2024. <https://doi.org/10.24436/2>